

WYNIKI CIĄGŁYCH POMIARÓW HAŁASU W ŚRODOWISKU

DLA LOTNISKA CHOPINA W WARSZAWIE

Nazwa obiektu: Punkt pomiarowy nr 6 „17 Stycznia”

Data wykonania pomiaru:

początek: 01 - 03 - 2022

koniec: 31 - 03 - 2022

Lokalizacja punktu pomiarowego: Warszawa, ul. 17 Stycznia 40

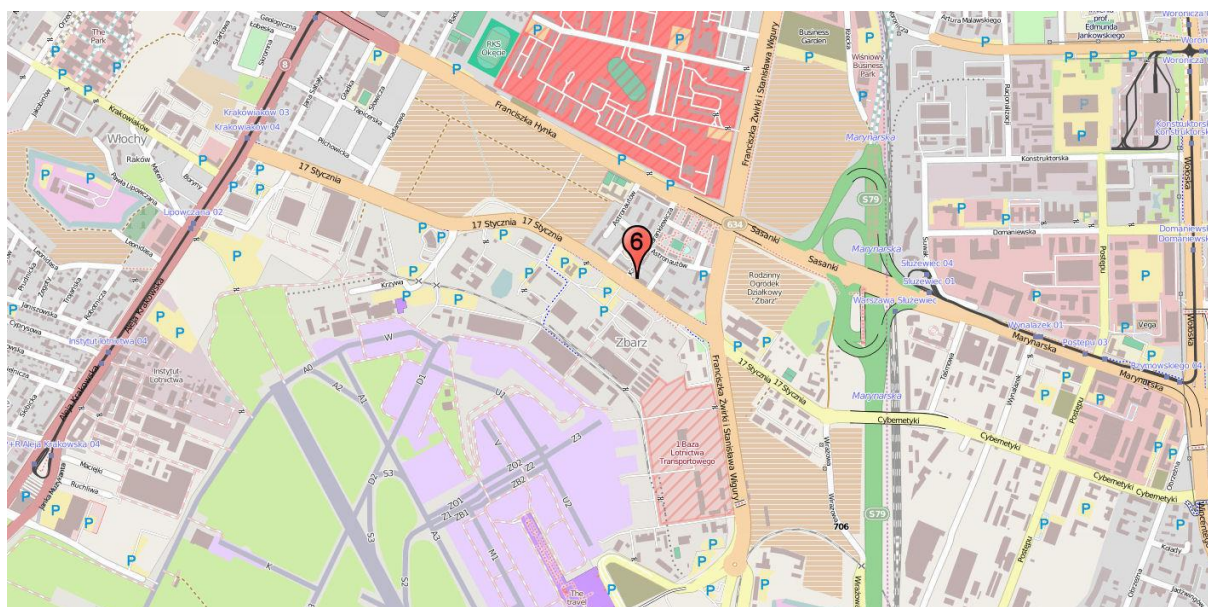
Układ współrzędnych: WGS 84

Szerokość geograficzna: N 52° 10' 54,7”

Długość geograficzna: E 20° 58' 26,8”

Względna wysokość punktu pomiarowego [m]: 15

Lokalizacja na planie:



Metoda badań:

Metoda ciągłych lub okresowych pomiarów monitoringowych: metodyka referencyjna, określona w załączniku nr 1 do rozporządzenia Ministra Środowiska z dnia 16.06.2011 w sprawie wymagań w zakresie prowadzenia pomiarów poziomów substancji lub energii w środowisku przez zarządzającego drogą, linią kolejową, linią tramwajową, lotniskiem, portem.

Metody obliczeniowe: jw.

Aparatura pomiarowa:

Analizator poziomu dźwięku (producent; nr typu): Lochard, EMU-2

Mikrofon/sonda mikrofonowa (producent; nr typu): Lochard, 41DM-2

Świadectwo uwierzytelnienia nr 00028573-1/02/2021 z dnia 12.07.2021 r. wydane przez Laboratorium

Akredytowane Nr AP 146

Wzorzec akustyczny (producent; nr typu): Brüel & Kjær; 4228

Równoważny poziom dźwięku w porze dnia i w porze nocy
w odniesieniu do jednej doby, wg wskaźników L_{AeqD} i L_{AeqN}
powodowany przez starty, lądowania i przeloty statków
powietrznych

Dzień miesiąca/ Marzec 2022 r.	Równoważny poziom dźwięku	
	Pora dnia L_{AeqD} w dB	Pora nocy L_{AeqN} w dB
1	41,9	0,0
2	45,1	39,2
3	0,0	37,5
4	0,0	37,9
5	0,0	0,0
6	37,4	40,6
7	39,8	34,1
8	0,0	0,0
9	47,5	41,0
10	48,9	39,5
11	47,7	47,6
12	50,7	41,2
13	0,0	46,6
14	46,0	47,8
15	45,1	43,5
16	0,0	42,5
17	44,5	44,7
18	42,4	44,7
19	0,0	0,0
20	35,4	46,8
21	35,8	44,3
22	46,6	52,7
23	40,1	0,0
24	41,3	0,0
25	48,0	41,8
26	38,6	39,4
27	46,6	42,5
28	41,4	38,2
29	47,0	40,7
30	41,8	42,7
31	43,6	0,0

Zgodnie z art. 112a ustawy – Prawo ochrony środowiska oraz rozporządzeniem Ministra Środowiska z dnia 16 czerwca 2011 r. *w sprawie wymagań w zakresie prowadzenia pomiarów poziomów substancji lub energii w środowisku przez zarządzającego drogą, linią kolejową, linią tramwajową, lotniskiem lub portem*, do ustalania i kontroli warunków korzystania ze środowiska mają zastosowanie wskaźniki hałasu odnoszące się do jednej doby:

- L_{AeqD} – równoważny poziom dźwięku A dla pory dnia (rozumianej jako przedział czasu od godz. 6.00 do godz. 22.00),
- L_{AeqN} – równoważny poziom dźwięku A dla pory nocy (rozumianej jako przedział czasu od godz. 22.00 do godz. 6.00).

Wyznaczone wartości tych wskaźników dla poszczególnych dni i nocy w marcu 2022 podano w tabeli powyżej.

W tabelach poniżej podano zestawienia zdarzeń akustycznych zarejestrowanych w punkcie pomiarowym, na podstawie których wyznaczono wartości wskaźników L_{AeqD} i L_{AeqN} dla poszczególnych dni i nocy w miesiącu.

Zestawienie zdarzeń akustycznych spowodowanych przelotami statków powietrznych w porze dnia (przedział czasu pomiędzy godz. 06.00 – 22.00)

Nr punktu pomiarowego	Data i godz. zdarzenia	Samolot	Operacja*	L _{Aeq}	L _{Amax}	L _{AE}
				[dB]	[dB]	[dB]
6	01-03-2022 07:03:31	A319	D	70,2	71,3	79,8
6	01-03-2022 11:10:18	W3	D	72,2	75,1	83,9
6	01-03-2022 13:25:09	H60	D	73,5	75,6	83,9
6	02-03-2022 13:53:54	M18	D	74,1	77,9	87,1
6	02-03-2022 14:42:17	W3	D	73,3	76,7	86,7
6	02-03-2022 15:04:04	E75S	A	77,5	82,0	86,6
6	02-03-2022 17:23:46	M18	D	74,9	79,1	87,5
6	02-03-2022 19:37:54	M18	A	70,6	73,0	82,4
6	06-03-2022 14:51:50	EC35	A	73,4	75,5	83,0
6	07-03-2022 10:21:50	W3	D	77,4	81,6	89,7
6	09-03-2022 13:05:38	W3	D	76,7	80,4	89,0
6	09-03-2022 13:37:20	DH8D	A	82,7	89,7	95,7
6	09-03-2022 21:32:23	A21N	D	77,8	83,1	90,1
6	09-03-2022 21:42:17	E75S	A	79,2	84,9	91,2
6	10-03-2022 13:25:04	DH8D	A	79,5	84,6	89,0
6	10-03-2022 16:40:53	E170	D	79	85,3	89,8
6	10-03-2022 17:04:04	EC35	A	73,9	77	84,3
6	10-03-2022 18:10:01	W3	A	71,0	73,0	82,2
6	10-03-2022 21:30:30	W3	A	68,1	69,7	77,6
6	10-03-2022 21:35:08	W3	A	80,7	87,2	94,7
6	11-03-2022 14:02:49	M18	A	71,4	73,2	82,2
6	11-03-2022 14:05:29	M18	A	75,8	79,9	89,0
6	11-03-2022 14:42:38	E75S	A	78,2	84,6	89,6
6	11-03-2022 16:14:15	W3	A	72,3	73,7	83,4
6	11-03-2022 17:51:46	CRJ9	A	70,2	70,9	80,2
6	11-03-2022 18:12:35	C17	A	70,4	73,1	79,5
6	11-03-2022 20:50:35	B38M	A	69,0	71,2	78,6
6	11-03-2022 20:51:15	E195	D	68,5	70,3	80,0
6	11-03-2022 20:58:33	E75S	D	69,1	71,5	79,5
6	11-03-2022 21:04:30	C17	D	71,1	73,7	80,1
6	11-03-2022 21:14:32	B763	D	69,4	71,3	81,5
6	12-03-2022 06:17:06	E195	D	72,1	74,6	84,9
6	12-03-2022 06:19:15	E75S	A	75,2	78,3	87,3
6	12-03-2022 06:23:53	A321	D	74,6	76,8	87,6
6	12-03-2022 06:26:00	E75S	D	73,2	74,8	84,3
6	12-03-2022 06:27:50	B738	D	73,7	77,4	88,9
6	12-03-2022 06:31:13	A321	D	72,6	75,0	87,0
6	12-03-2022 07:31:00	B738	D	74,6	76,0	85,7
6	12-03-2022 07:32:43	B738	D	73,2	76,5	88,2
6	12-03-2022 07:34:40	B738	D	74,1	77,6	89,9
6	12-03-2022 07:43:26	E195	D	74,7	78,3	86,8
6	12-03-2022 07:45:07	E75S	D	72,6	74,7	85,6
6	12-03-2022 07:46:36	E195	D	71,7	75,0	86,8
6	12-03-2022 07:55:14	E170	D	71,2	73,1	84,4
6	12-03-2022 08:01:34	E75S	D	73,8	78,2	87,8
6	12-03-2022 08:07:11	A321	D	73,2	75,1	84,3
6	12-03-2022 08:14:16	GL5T	D	70,8	72,8	83,1
6	12-03-2022 08:16:24	E75S	D	70,8	73,2	83,8
6	12-03-2022 08:17:58	E195	D	72,9	75,9	87,6
6	12-03-2022 08:23:34	E170	D	71,6	74,5	84,1
6	12-03-2022 08:26:46	E190	D	72,6	75,1	85,6
6	12-03-2022 08:29:12	E190	D	71,8	73,7	81,8
6	14-03-2022 10:16:15	EC35	A	75,3	78,4	87,1

Nr punktu pomiarowego	Data i godz. zdarzenia	Samolot	Operacja*	L _{Aeq}	L _{Amax}	L _{AE}
				[dB]	[dB]	[dB]
6	14-03-2022 11:24:34	DH8D	A	73,7	75,8	83,2
6	14-03-2022 13:25:23	W3	A	81,3	85,7	93,3
6	14-03-2022 16:10:18	EC35	A	76,8	80,8	86,8
6	14-03-2022 21:43:22	B738	A	69,2	71,2	78,8
6	15-03-2022 06:10:22	A321	D	75,5	76,4	88,5
6	15-03-2022 06:28:15	A321	D	76,6	80,4	91,7
6	15-03-2022 07:24:07	B38M	A	72,9	74,1	83,7
6	15-03-2022 12:11:44	M18	D	72,7	75,5	84,7
6	17-03-2022 06:19:38	A321	D	72,7	75,4	83,1
6	17-03-2022 15:15:14	M18	A	71,1	73,7	81,9
6	17-03-2022 16:20:11	PZ3T	A	78,8	84,2	90,2
6	17-03-2022 19:03:20	A321	A	70,5	75,2	81,2
6	17-03-2022 21:08:52	E75S	A	79	83,5	89,4
6	18-03-2022 08:13:08	M18	D	70,1	70,7	80,5
6	18-03-2022 21:10:10	B763	D	68,2	70,5	81,2
6	18-03-2022 21:18:52	B738	D	70,3	72,5	82,1
6	18-03-2022 21:41:10	B738	A	68,6	70	79
6	18-03-2022 21:52:45	B738	A	70,7	72,2	80,7
6	20-03-2022 20:58:14	GLF6	A	72,5	74,7	81,5
6	20-03-2022 21:12:10	B738	A	69,1	70,9	78,7
6	21-03-2022 07:56:30	GLF5	D	80,2	85,2	94,4
6	21-03-2022 11:06:43	C295	A	68,7	72,4	81,5
6	21-03-2022 13:37:52	B738	A	86,9	92,1	98,6
6	21-03-2022 13:50:44	W3	P	80,4	86,3	93,6
6	21-03-2022 13:52:00	W3	P	73,8	77,2	83,4
6	21-03-2022 21:53:50	A306	D	68,3	68,9	77,3
6	22-03-2022 06:36:21	B744	D	71	73,2	84,5
6	22-03-2022 07:30:10	B738	A	74,9	77,8	86
6	22-03-2022 08:26:51	A332	D	72,2	73,7	83,4
6	22-03-2022 11:53:38	A321	A	71,6	74,3	81,1
6	22-03-2022 13:24:16	A321	A	78,4	81,8	88,0
6	22-03-2022 19:37:17	B38M	A	69,1	71,8	79,9
6	22-03-2022 20:40:59	W3	A	70,6	72,0	84,9
6	22-03-2022 21:16:48	B763	D	68,8	69,5	79,9
6	22-03-2022 21:59:05	A306	D	69,2	69,7	79,6
6	23-03-2022 06:17:04	A321	D	71,5	72,2	80,5
6	23-03-2022 07:17:25	A321	D	70,3	72,1	80,3
6	23-03-2022 08:21:59	B738	A	71,3	73,7	81,3
6	23-03-2022 12:25:14	E190	A	71,2	74,5	85,8
6	23-03-2022 13:30:46	A139	A	73,0	74,8	83,8
6	23-03-2022 17:00:46	E195	A	74,7	78,7	84,7
6	23-03-2022 17:50:08	C17	D	71,9	74,4	82,4
6	23-03-2022 19:15:45	A320	D	69,7	74,7	79,7
6	24-03-2022 10:59:27	W3	D	73,9	77,9	86,9
6	24-03-2022 18:47:27	B38M	A	78,9	83,2	89,7
6	25-03-2022 07:05:20	W3	D	75,1	78,7	87,9
6	25-03-2022 12:52:48	DH8D	D	78,0	81,8	87,1
6	25-03-2022 13:05:54	A320	D	71,0	76,6	81,0
6	25-03-2022 13:39:58	B738	A	83,1	88,4	99,2
6	25-03-2022 18:39:04	B742	A	70,7	73,9	83,0
6	25-03-2022 20:51:31	E170	D	78,1	83,2	91,6
6	25-03-2022 20:52:53	DH8D	A	80,0	88,8	95,8
6	25-03-2022 21:24:21	B738	A	70,8	72,3	80,8
6	25-03-2022 21:52:20	B38M	A	69,8	72,4	78,8
6	26-03-2022 13:44:09	B738	D	69,5	71,6	78,5
6	26-03-2022 15:28:19	B752	D	71,2	72,8	82,9
6	26-03-2022 17:01:17	A333	D	71,6	75,2	85,6
6	26-03-2022 18:38:46	E170	A	76,7	79,1	85,7
6	26-03-2022 19:59:10	B742	D	68,3	71,8	79,8

Nr punktu pomiarowego	Data i godz. zdarzenia	Samolot	Operacja*	L _{Aeq}	L _{Amax}	L _{AE}
				[dB]	[dB]	[dB]
6	27-03-2022 07:16:20	C17	D	69,7	73,5	80,5
6	27-03-2022 10:19:43	B764	D	72,0	75,4	85,0
6	27-03-2022 20:08:20	B738	A	70,5	73,6	82,2
6	27-03-2022 20:20:25	DH8D	A	70,2	72,0	80,6
6	27-03-2022 20:21:03	E190	D	70,4	72,2	83,2
6	28-03-2022 10:56:18	DH8D	D	69,9	72,0	80,6
6	28-03-2022 17:10:22	W3	D	70,5	71,7	81,0
6	29-03-2022 12:06:56	E195	A	72,0	74,6	81,0
6	29-03-2022 13:39:47	M18	D	72,9	75,7	85,7
6	29-03-2022 18:36:40	DH8D	A	68,0	69,4	77,6
6	29-03-2022 19:23:41	E170	A	68,5	70,2	78,5
6	29-03-2022 21:02:32	AN28	D	73,5	75,6	83,5
6	29-03-2022 21:24:03	A333	A	69,7	71,9	80,2
6	30-03-2022 06:27:24	B788	A	72,9	75,2	84,6
6	30-03-2022 07:00:30	B788	A	74,3	76,0	84,7
6	30-03-2022 07:25:45	B38M	A	71,6	74,7	82,4
6	30-03-2022 19:29:08	E195	D	71,0	77,6	81,8
6	31-03-2022 15:08:18	E75S	A	69,9	71,8	80,7
6	31-03-2022 21:40:01	A321	D	75,4	79,9	86,5

Zestawienie zdarzeń akustycznych spowodowanych przelotami statków powietrznych w porze nocy (przedział czasu pomiędzy godz. 22.00 – 06.00)

Nr punktu pomiarowego	Data i godz. zdarzenia	Samolot	Operacja*	L _{Aeq}	L _{Amax}	L _{AE}
				[dB]	[dB]	[dB]
6	02-03-2022 22:35:55	A20N	A	64,3	64,8	75,4
6	02-03-2022 23:21:01	E75S	D	64,9	65,6	76,7
6	03-03-2022 05:30:01	B738	A	66,1	67,5	77,8
6	03-03-2022 22:07:03	A306	D	70,1	74,1	85,3
6	04-03-2022 22:07:59	E190	A	76,3	82,1	89,7
6	05-03-2022 00:38:33	A333	D	68,0	71,2	82,5
6	06-03-2022 23:16:26	B738	D	64,3	65,0	74,3
6	07-03-2022 05:47:50	B38M	A	65,1	66,1	75,1
6	08-03-2022 05:52:38	A306	A	65,3	66,6	78,3
6	09-03-2022 22:42:19	A20N	A	70,2	78,0	85,0
6	10-03-2022 05:48:21	B763	A	65,5	66,3	76,3
6	11-03-2022 05:38:34	B763	A	64,4	66,7	76,7
6	11-03-2022 05:42:01	A306	A	64,2	64,6	75,6
6	11-03-2022 05:46:44	B788	A	65,2	67,0	75,2
6	11-03-2022 21:59:59	B738	D	70,4	72,7	83,2
6	11-03-2022 22:03:03	A306	D	68,7	72,3	83,3
6	11-03-2022 22:24:49	A21N	D	66,6	70,3	77,7
6	11-03-2022 23:14:26	B38M	D	65,7	68,2	78,2
6	11-03-2022 23:15:47	E170	D	68,4	71,6	82,2
6	11-03-2022 23:16:58	E190	D	66,3	69,0	81,8
6	11-03-2022 23:18:27	E75S	D	66,6	69,3	81,4
6	11-03-2022 23:20:11	E190	D	69,0	71,8	82,6
6	11-03-2022 23:22:26	B738	A	64,4	65,3	74,4
6	11-03-2022 23:26:42	E170	D	70,5	73,4	83,9
6	11-03-2022 23:31:56	E75S	D	67,4	70,7	80,8
6	12-03-2022 00:08:22	E195	D	70,5	75,1	84,1
6	12-03-2022 23:34:25	B738	D	65,5	67,4	77,3
6	13-03-2022 22:38:38	B738	A	66,0	67,4	75,0
6	13-03-2022 22:45:35	B738	D	65,9	68,5	77,9
6	13-03-2022 23:13:27	E190	D	65,7	66,5	77,4
6	13-03-2022 23:15:11	E195	D	65,0	66,8	77,1
6	13-03-2022 23:18:26	E190	D	64,7	65,9	73,8

Nr punktu pomiarowego	Data i godz. zdarzenia	Samolot	Operacja*	L _{Aeq}	L _{Amax}	L _{AE}
				[dB]	[dB]	[dB]
6	13-03-2022 23:22:32	E75S	D	64,2	64,7	73,2
6	13-03-2022 23:24:01	B738	A	64,2	65,1	73,8
6	13-03-2022 23:25:06	E75S	D	65,3	67,2	77,6
6	14-03-2022 22:04:43	A306	D	66,4	70,8	80,7
6	14-03-2022 22:44:50	MI8	A	66,7	69,6	79,7
6	14-03-2022 23:02:15	B38M	D	69,5	78,3	82,9
6	14-03-2022 23:07:58	E170	D	65,8	69,3	78,6
6	14-03-2022 23:18:56	E75S	D	67,4	70,0	83,1
6	14-03-2022 23:20:36	E170	D	65,6	68,0	79,6
6	14-03-2022 23:22:00	B38M	D	63,8	65,6	74,3
6	14-03-2022 23:25:03	E75S	D	63,7	66,4	73,3
6	14-03-2022 23:26:32	E195	D	64,8	68,0	77,1
6	14-03-2022 23:28:01	E190	D	65,9	69,7	78,3
6	15-03-2022 05:41:37	A306	A	64,8	66,6	80,4
6	15-03-2022 23:07:55	A321	A	66,0	67,4	78,6
6	15-03-2022 23:08:47	E190	D	67,0	69,4	77,8
6	15-03-2022 23:10:31	E195	D	66,9	68,4	76,4
6	15-03-2022 23:12:50	E75S	D	66,3	70,5	80,0
6	15-03-2022 23:15:19	E190	D	65,9	67,2	77,3
6	15-03-2022 23:16:56	E195	D	65,1	66,0	76,2
6	15-03-2022 23:20:09	E75S	D	65,2	69,1	78,8
6	15-03-2022 23:26:18	B38M	D	63,9	66,2	76,0
6	15-03-2022 23:33:18	B38M	D	64,7	66,3	73,8
6	16-03-2022 23:01:22	A321	A	72,7	78,0	84,5
6	16-03-2022 23:12:05	DH8D	D	65,0	65,8	75,8
6	16-03-2022 23:13:20	B738	A	65,0	66,1	79,8
6	16-03-2022 23:14:12	E170	D	64,8	66,8	80,7
6	17-03-2022 22:04:58	B77W	D	64,3	66,2	77,7
6	17-03-2022 22:08:10	A306	D	64,6	68,2	75,7
6	17-03-2022 22:43:06	A321	A	67,1	68,7	76,1
6	17-03-2022 23:04:37	E190	D	64,4	67,2	75,6
6	17-03-2022 23:17:29	E195	D	63,4	65,1	73,4
6	18-03-2022 05:15:05	B788	A	72,6	77,0	84,1
6	18-03-2022 22:15:05	B38M	A	66,4	67,8	78,5
6	18-03-2022 22:56:14	B738	A	67,9	70,4	76,9
6	18-03-2022 23:12:14	E75S	D	70,9	75,2	82,0
6	18-03-2022 23:25:44	E170	D	67,3	71,2	81,6
6	18-03-2022 23:45:47	E75S	D	68,3	71,8	82,1
6	19-03-2022 00:05:21	E190	D	66,5	68,6	76,9
6	20-03-2022 22:28:15	B738	A	65,4	67,4	74,5
6	20-03-2022 23:00:59	E190	D	66,2	69,4	78,5
6	20-03-2022 23:15:49	E195	D	66,5	68,7	77,6
6	20-03-2022 23:18:01	E75S	D	67,2	69,7	81,0
6	20-03-2022 23:21:07	E75S	D	69,4	71,8	83,0
6	20-03-2022 23:24:44	E190	D	67,9	69,8	77,9
6	20-03-2022 23:52:51	B738	D	68,2	71,5	81,0
6	21-03-2022 05:30:12	A306	A	66,4	68,5	77,2
6	21-03-2022 05:43:49	B789	A	64,3	64,8	75,1
6	21-03-2022 23:14:42	E190	D	68,7	72,5	80,4
6	21-03-2022 23:17:29	E75S	D	68,6	72,1	80,1
6	21-03-2022 23:18:43	E75S	D	66,6	68,3	76,6
6	21-03-2022 23:21:28	E190	D	69,8	74,9	82,6
6	21-03-2022 23:28:38	B38M	D	67,8	69,8	78,2
6	21-03-2022 23:34:12	B788	D	67,0	69,9	77,0
6	22-03-2022 05:51:08	B763	A	66,3	67,6	76,7
6	22-03-2022 22:16:03	C17	A	78,3	84,2	92,1
6	22-03-2022 22:36:02	C17	D	65,6	66,9	78,2
6	22-03-2022 22:50:04	B738	D	66,9	70,1	77,7
6	22-03-2022 23:00:59	C295	A	67,9	72,3	82,9

Nr punktu pomiarowego	Data i godz. zdarzenia	Samolot	Operacja*	L _{Aeq}	L _{Amax}	L _{AE}
				[dB]	[dB]	[dB]
6	22-03-2022 23:03:53	A21N	A	63,3	64,0	70,3
6	22-03-2022 23:05:08	E190	D	66,7	68,8	80,3
6	22-03-2022 23:06:52	C17	A	76,2	83,4	93,7
6	22-03-2022 23:11:54	E170	D	65,5	68,1	80,4
6	22-03-2022 23:13:56	E75S	D	64,9	66,0	73,9
6	22-03-2022 23:19:49	B738	D	69,0	74,9	84,4
6	22-03-2022 23:23:02	E195	D	70,3	77,2	86,0
6	23-03-2022 00:38:30	C17	D	66,7	71,1	81,5
6	23-03-2022 00:41:30	C17	D	66,2	67,8	77,0
6	23-03-2022 05:41:38	A306	A	66,8	71,2	79,3
6	25-03-2022 22:04:49	B38M	A	68,5	71,6	78,1
6	25-03-2022 22:58:52	E75S	D	64,0	64,6	73,0
6	25-03-2022 23:34:35	B738	A	67,4	72,9	79,2
6	26-03-2022 23:51:09	DH8D	D	65,3	66,0	74,4
6	27-03-2022 22:41:46	B738	D	67,6	71,2	82,3
6	27-03-2022 23:12:14	E195	D	64,5	67,5	76,8
6	27-03-2022 23:15:16	E195	D	64,5	65,4	74,0
6	27-03-2022 23:16:27	E170	D	64,1	65,9	73,1
6	27-03-2022 23:18:06	E190	D	63,0	64,2	72,6
6	27-03-2022 23:25:21	A321	A	68,6	71,6	78,6
6	28-03-2022 22:12:19	A321	A	65,3	66,8	76,5
6	29-03-2022 22:30:24	B738	A	66,7	67,7	79,0
6	29-03-2022 23:18:33	E190	D	64,8	66,1	75,2
6	29-03-2022 23:20:59	A333	D	64,7	66,9	77,9
6	30-03-2022 05:43:31	B763	A	65,4	67,4	77,7
6	30-03-2022 22:03:19	E195	A	64,4	65,2	77,2
6	30-03-2022 23:08:13	DH8D	D	70,3	75,3	83,3
6	30-03-2022 23:18:23	B38M	D	64,0	65,3	74,0
6	31-03-2022 05:37:51	B763	A	65,9	67,9	78,5
6	31-03-2022 05:43:49	A306	A	64,9	65,9	78,3

LEGENDA

- Samolot – typ statku powietrznego
- Operacja: A – lądowanie, D – start, P - przelot
- L_{Aeq} – równoważny poziom dźwięku dla zdarzenia akustycznego
- L_{Amax} – maksymalny poziom dźwięku dla zdarzenia akustycznego
- L_{AE} – ekspozycyjny poziom dźwięku dla zdarzenia akustycznego
- Kolorem niebieskim oznaczono zdarzenia akustyczne, które miały miejsce w czasie gdy nie były spełnione warunki meteorologiczne¹, a także wystąpiły zakłócenia od innych źródeł hałasu.

¹ Warunki meteorologiczne określone w punkcie D "Referencyjnej metodyki wykonywania ciągłych pomiarów poziomów hałasu wprowadzanego do środowiska przez starty, lądowania i przeloty statków powietrznych w związku z eksploatacją lotnisk oraz kryteria lokalizacji punktów pomiarowych" (Załącznik nr 1 do rozporządzenia Ministra Środowiska z dnia 16 czerwca 2011 r. w sprawie wymagań w zakresie prowadzenia pomiarów poziomów substancji lub energii w środowisku przez zarządzającego drogą, linią kolejową, linią tramwajową, lotniskiem lub portem).

WARUNKI METEOROLOGICZNE DLA LOTNISKA:

Ustalane na wysokości: 106,51 m n.p.m

Wielkości ustalone	Wartości maksymalne	Wartości minimalne	Wartości średnie miesięczne
	w danym miesiącu	w danym miesiącu	
Temperatura [°C]	19,3	-8,4	3,6
Wilgotność względna [%]	95	19	58
Ciśnienie atmosferyczne [hPa]	1033,6	991	1014,3

Miesięczna róża wiatrów

